

07;08

©1994

ИЗМЕНЕНИЕ ПОКАЗАТЕЛЯ ПРЕЛОМЛЕНИЯ ЖИДКОГО КРИСТАЛЛА ПРИ ВОЗДЕЙСТВИИ ИМПУЛЬСА ТЕА-СО₂ ЛАЗЕРА

В.В.Данилов, О.Б.Данилов, А.И.Сидоров

В работах [1,2] показано, что жидкокристаллические модуляторы являются перспективными устройствами для внутрирезонаторного управления параметрами генерации ТЕА-СО₂ лазеров. В то же время наличие у жидкого кристалла (ЖК) заметного поглощения на рабочей длине волны лазера ($\alpha \sim 15 \text{ см}^{-1}$ для $\lambda = 10.6 \text{ мкм}$) приводит при взаимодействии лазерного излучения с ЖК к появлению ряда эффектов [3], влияющих на параметры генерации лазера.

В данной работе приведены результаты экспериментального исследования изменения показателя преломления холестерического ЖК под действием импульса излучения ТЕА-СО₂ лазера ($\tau_{\text{имп}} = 1.2 \text{ мкс}$).

Эксперимент заключался в измерении гетеродинным методом [4] сдвига частоты генерации лазера с ЖК модулятором, вызванного изменением показателя преломления ЖК. Ввиду того что самовоздействие излучения в активной среде ТЕА-СО₂ лазера приводит к сдвигу частоты генерации в течение импульса на $\Delta\nu = 5 - 10 \text{ МГц}$ [5], измерение $\Delta\nu$, вызванного непосредственно изменением показателя преломления ЖК, в ТЕА-СО₂ лазере затруднено, так как оба сдвига частоты накладываются друг на друга. В нашем эксперименте была использована методика, позволившая исключить сдвиг частоты, вызванный самовоздействием излучения в активной среде лазера. Особенность эксперимента состояла в том, что ЖКМ помещался в резонатор непрерывного СО₂ лазера низкого давления, а импульс излучения, действующий на ЖК, формировался ТЕА-СО₂ лазером.

Оптическая схема эксперимента приведена на рис. 1. Резонатор непрерывного СО₂ лазера низкого давления состоял из ЖК модулятора 3, выполненного в виде глухого управляемого зеркала с толщиной слоя ЖК $h = 20 \text{ мкм}$ и эшелетта 9 (150 штр./мм), положение которого соответствовало условию автоколлимационного отражения для линии 10Р20 ($\lambda = 10.59 \text{ мкм}$). Диафрагма 8 служила для выделения генерации на моде ТЕМ₀₀. Излучение выводилось из резонатора через нулевой порядок эшелетта и направлялось в охлаждаемый фотоприемник 12. В качестве лазера-гетеродина

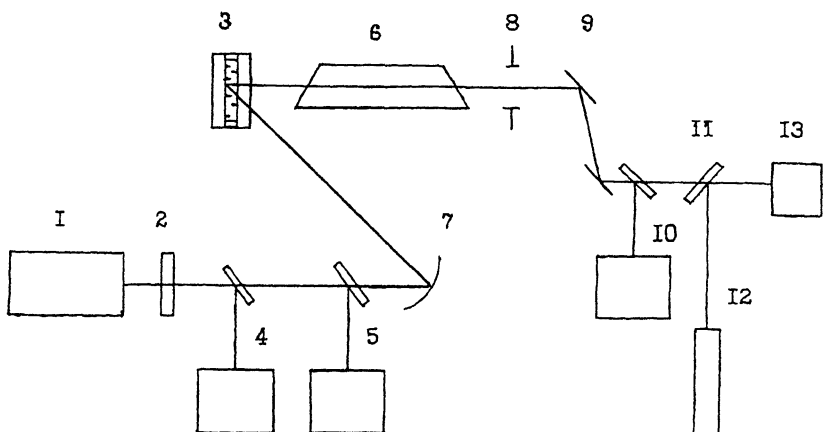


Рис. 1. Оптическая схема эксперимента.

1 — TEA- CO_2 лазер, 2 — ослабитель, 3 — ЖКМ, 4, 10 — ИМО-2Н, 6 — разрядная трубка CO_2 лазера низкого давления, 7 — сферическое зеркало, 8 — диафрагма, 9 — щелевый, 11 — пластина BaF_2 , 12 — лазер ЛГ-74; 5, 13 — фотоприемник.

использовался непрерывный CO_2 лазер низкого давления ЛГ-74. Воздействующий импульс излучения формировался TEA- CO_2 лазером 1, обеспечивающим энергию генерации до 100 мДж на mode TEM_{00} . Импульс излучения TEA- CO_2 лазера регистрировался фотоприемником 5. Импульсное излучение ослаблялось калиброванными ослабителями 2 и с помощью сферического зеркала 7 фокусировалось на ЖКМ в область, совпадающую с положением моды генерации непрерывного лазера. Диаметр пятна импульсного излучения на ЖК был равен 5 мм и соответствовал диаметру моды непрерывного лазера. Мощность генерации непрерывного лазера была снижена до 50 мВт путем уменьшения тока разряда для предотвращения нагрева ЖК непрерывным излучением. ЖК, использованный в экспериментах, описан в работе [1].

На рис. 2, б показаны временные зависимости сдвига частоты генерации и изменения показателя преломления для трех значений плотности энергии импульсного излучения, падающего на ЖК. Изменение показателя преломления (Δn) определялось по формуле

$$\Delta n = n_0(L/h)(\Delta\nu/\nu_0),$$

где n_0 — показатель преломления ЖК, L — длина резонатора лазера, h — толщина слоя ЖК, ν_0 — частота излучения лазера.

Из рис. 2 видно, что под действием импульса генерации TEA- CO_2 лазера происходит рост $\Delta\nu$ и Δn до максимума

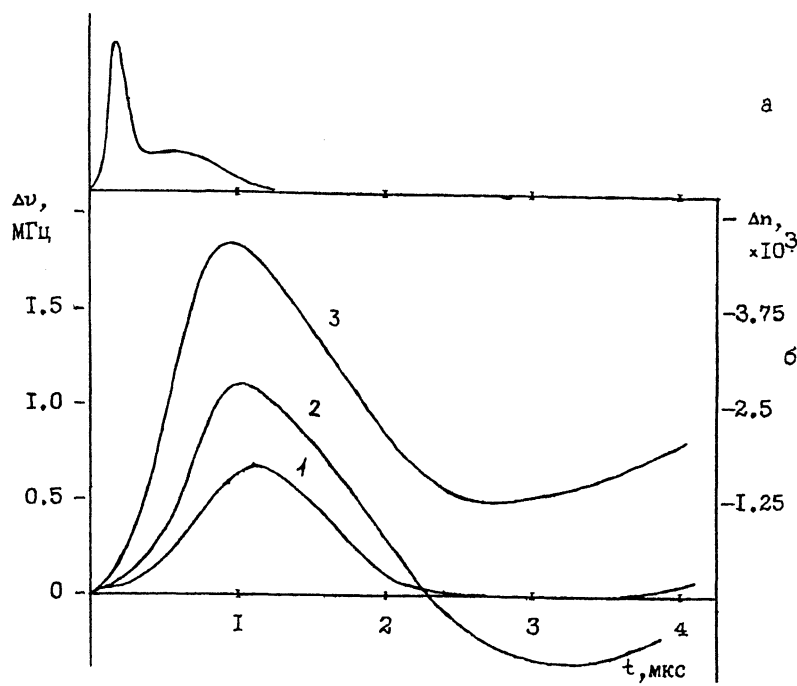


Рис. 2. а — осциллограмма импульса генерации ТЕА-СО₂ лазера, б — сдвиг частоты генерации лазера низкого давления и изменение показателя преломления ЖК. 1 — $W = 30$ мДж/см², 2 — 50, 3 — 80.

при $t \sim 1$ мкс, и затем спад ($1 < t < 2.5$ мкс), при котором возможен переход зависимостей в область отрицательных значений. Максимальные величины $\Delta\nu$ сравнимы со сдвигом частоты генерации в ТЕА-СО₂ лазере, вызванным изменением показателя преломления активной среды при самовоздействии излучения. Характер зависимостей $\Delta\nu(t)$ и $\Delta n(t)$ при $t < 3$ мкс подтверждает вывод, сделанный в работе [6] о вкладе оптико-акустического эффекта в изменение показателя преломления ЖК при воздействии импульсного излучения.

При $t > 3$ мкс наблюдается плавный рост $\Delta\nu$ и Δn с выходом на насыщение при $t \sim 20$ мкс (рис. 3, б), сопровождающийся уменьшением мощности генерации лазера низкого давления (рис. 3, а). Восстановление исходной мощности генерации происходит через $t \sim 5$ мс. Данная область изменения показателя преломления ЖК связана с начальной стадией развития конвективных и электрогидродинамических неустойчивостей в ЖК, описанных в работе [3].

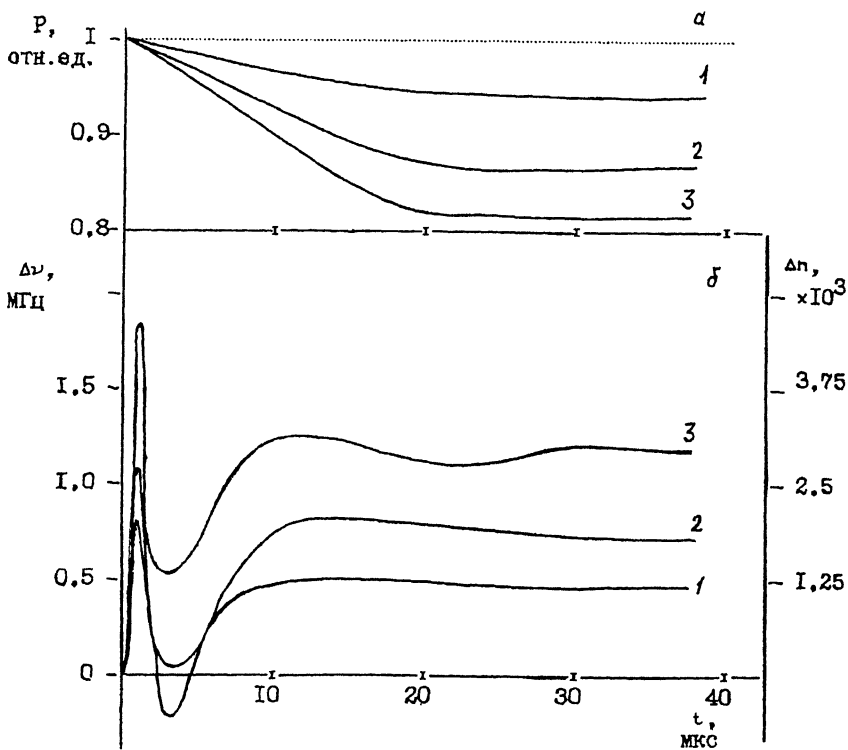


Рис. 3. а — изменение мощности генерации CO_2 лазера низкого давления после импульса ТЕА- CO_2 лазера, б — сдвиг частоты генерации лазера низкого давления и изменение показателя преломления ЖК. 1 — $W = 30 \text{ мДж}/\text{см}^2$, 2 — 50, 3 — 80.

Список литературы

- [1] Данилов В.В., Данилов О.Б., Сидоров А.И. и др. // ЖТФ. 1991. Т. 61. С. 126.
- [2] Данилов В.В., Данилов О.Б. и др. // Квантовая электроника. 1991. Т. 18. С. 1211.
- [3] Danilov V.V., Sidorov A.I. // Mol. Mat. 1993. V. 2. P. 97.
- [4] Протопопов В.В., Устинов Н.Д. // Лазерное гетеродинирование. М., 1985. 288 с.
- [5] Кунцевич Б.Ф., Малюта Д.Д., Межевов В.С. и др. // Квантовая электроника. 1987. Т. 14. С. 328.
- [6] Данилов В.В., Сидоров А.И. // Письма в ЖТФ. 1991. Т. 17. В. 13. С. 41.

Поступило в Редакцию
8 августа 1994 г.